

НОВОЕ ПОЛУПРОВОДНИКОВОЕ СПИНОВОЕ СТЕКЛО $\text{Fe}_{0,67}\text{Cr}_{1,33}\text{Sn}_{0,67}\text{S}_4$ С МАГНИТОАКТИВНЫМИ ИОНАМИ В А- И В-ПОДРЕШЕТКАХ

*К.П.Белов, Л.И.Королева, Т.В.Вировец, Л.Н.Лукина, А.Г.Одинцов,
 Д.А.Сайфуллаева, Я.А.Кеслер, Д.С.Филимонов*

*Московский государственный университет им. М.В.Ломоносова
 119899 Москва, Россия*

Поступила в редакцию 23 декабря 1994 г.

Новое полупроводниковое соединение $\text{Fe}_{0,67}\text{Cr}_{1,33}\text{Sb}_{0,67}\text{S}_4$ со структурной шпинели имеет магнитные свойства, характерные для спиновых стекол: максимум начальной восприимчивости при температуре $T = T_f$, который подавляется постоянным магнитным полем H и зависимость низкотемпературной намагниченности от термомагнитной истории образца. Зависимость $T_f(H, T)$ подчиняется соотношению Алмейды – Таулесса и зависимость T_f от частоты переменного магнитного поля – степенному закону, что свидетельствует о существовании фазового перехода спиновое стекло – парамагнетик. Это первое спиновое стекло среди халькошпинелей с магнитоактивными ионами в А- и В-подрешетках.

До настоящего времени состояние спинового стекла (СС) наблюдалось в халькошпинелях с магнитоактивными ионами в одной из подрешеток: либо в октаэдрической (В), либо в тетраэдрической (А). Так, например, описано состояние СС в $\text{Ga}_{2/3}\text{Cr}_2\text{S}_4$ [1], $\text{Cu}_{0,5}\text{Me}_{0,5}\text{Cr}_2\text{Se}_4$ ($\text{Me} = \text{In}, \text{Ga}$) [2], $\text{Cu}_{2/3}\text{Ge}_{1/3}\text{Cr}_2\text{S}_4$ [3], $\text{CdCr}_{2x}\text{In}_{2-2x}\text{S}_4$ [4], $\text{ZnCr}_{2x}\text{Al}_{2-2x}\text{S}_4$ [5] и $\text{Zn}_{1-x}\text{Mn}_x\text{In}_2\text{S}_4$ [6]. Казалось интересным выяснить, возможно ли существование состояния СС в халькошпинелях, когда магнитоактивные ионы находятся одновременно в А- и В-подрешетках. Так как в шпинелях межподрешеточный косвенный антиферромагнитный обмен значительно сильнее обмена внутри подрешеток, возможность существования состояния СС в таких халькошпинелях далеко не очевидна. Например, в шпинели FeCr_2S_4 по данным работы [7] величины обменных интегралов следующие: $J_{\text{Cr}-\text{Cr}} = \pm 1 \text{ K}$ и $J_{\text{Cr}-\text{Fe}} = -10 \text{ K}$.

В данной работе исследованы магнитные и электрические свойства впервые синтезированной шпинели $\text{Fe}_{0,67}^{2+}[\text{Cr}_{1,33}^{3+}\text{Sn}_{0,67}^{4+}]\text{S}_4^{2-}$. Как видно из химической формулы, в этом соединении В-подрешетка разбавлена диамагнитными ионами Sn^{4+} , а в А-подрешетке имеется дефицит Fe^{2+} . Это соединение оказалось полупроводником с р-типом проводимости: так при температуре $T = 4,2 \text{ K}$ величина удельного электросопротивления $\rho = 4,5 \cdot 10^7 \text{ Ом}\cdot\text{см}$, а при $T = 293 \text{ K}$ $\rho = 1,1 \cdot 10^2 \text{ Ом}\cdot\text{см}$.

Кривые зависимости намагниченности σ от поля H не испытывают насыщения в полях, где производились измерения: до 35 кЭ при $T = 4,2 \text{ K}$ и до 10 кЭ при $T \geq 77 \text{ K}$. В то же время это соединение обладает магнитными свойствами, характерными для спиновых стекол. Так, на температурной зависимости начальной восприимчивости χ , измеренной в переменном магнитном поле (интервал частот измерения $0,3 \leq \omega \leq 2 \text{ кГц}$) наблюдается максимум при $T = T_f$, который довольно быстро подавляется небольшим постоянным магнитным полем, приложенным параллельно переменному (рис.1). Намагниченность в постоянном поле $H = 46 \text{ Э}$ при $T \leq T_f$ зависит от условий охлаждения: так, кривая $\sigma(T)$ образца, полученная при охлаждении образца в указанном

поле от $T > T_f$ до $T = 4,2\text{ К}$, расположена значительно выше, чем кривая $\chi(T)$ образца, охлажденного до $4,2\text{ К}$ в отсутствие поля (последняя кривая получена при нагревании образца, при этом поле включалось только на время измерения).

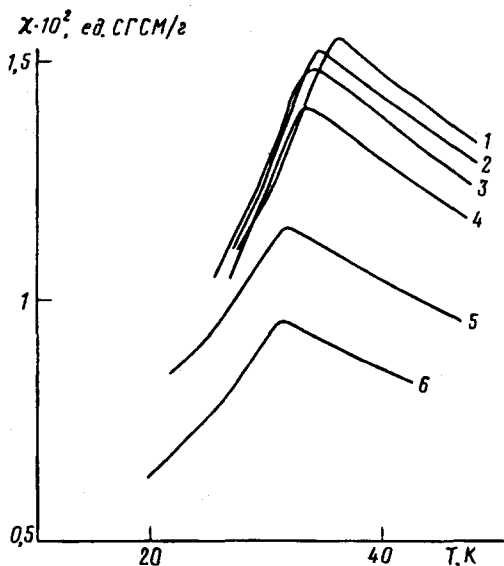


Рис.1

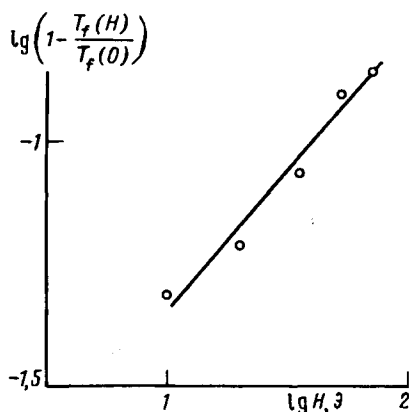


Рис.2

Рис.1. Температурная зависимость начальной магнитной восприимчивости χ в переменном магнитном поле с частотой 500 Гц ($H_{\sim} = 0,3\text{ Э}$) и действие постоянного магнитного поля H на эту зависимость

Рис.2. Зависимость $\{1 - [T_f(H)/T_f(0)]\}$ от H в двойном логарифмическом масштабе

Как известно, одна из основных проблем состояния СС – это вопрос о существовании фазового перехода СС – парамагнетик (ПМ) в реальных материалах, отнесенных к СС. В теории среднего поля СС было показано, что на плоскости (H, T) существует линия, ниже которой параметр порядка Эдвардса–Андерсона нестабилен [8]. Это так называемая линия Алмейды–Таулесса в модели Изинга:

$$1 - \{T_f(H)/T_f(0)\} \sim H^{2/3}. \quad (1)$$

Оказалось, что в ряде реальных СС зависимость $T_f(H)$ подчиняется соотношению (1). Эти эксперименты рассматривались как доказательства справедливости теории среднего поля для этих СС и существования соответствующего ей фазового перехода в T_f [8]. В данной работе исследовано влияние постоянного магнитного поля на температурную зависимость χ (рис.1). Из рисунка видно, что при возрастании величины постоянного поля χ_{max} уменьшается, а сам максимум смещается в сторону более низких температур. Таким образом, температура замораживания T_f , определенная как температура максимума на кривой $\chi(T)$, под действием магнитного поля смещается в сторону более низких температур. На рис.2 в двойном логарифмическом масштабе представлена зависимость $\{1 - [T_f(H)/T_f(0)]\}$ от поля H для рассматриваемого в данной ра-

боте состава. Видно, что точки удовлетворительно ложатся на прямую линию, при этом тангенс угла наклона этой линии равен 0,61, что очень близко к показателю степени $2/3$ в соотношении Алмейды–Таулесса. Выполнение соотношения Алмейды–Таулесса для данного СС можно рассматривать как доказательство существования в нем фазового перехода СС – ПМ.

Оказалось, что в СС $\text{Fe}_{0,67}\text{Cr}_{1,33}\text{Sn}_{0,67}\text{S}_4$ температура замораживания, определенная по максимуму начальной восприимчивости в переменном магнитном поле, зависит от частоты этого поля ω . Известно [8], что во всех реальных СС, за исключением AgMn [9], наблюдается частотная зависимость T_f . Однако оказалось, что в СС-материалах время релаксации τ в районе температуры замораживания возрастает быстрее, чем по закону Аррениуса, характерному для суперпарамагнетиков, и в ряде случаев подчиняется эмпирическому закону Вогеля–Фульчера [10]:

$$\tau = 1/\omega = \tau_0 \exp\{E/k(T_f - T_0)\}, \quad (2)$$

где $\tau_0 \approx 10^{-12}$ – минимальное время релаксации и E – величина с размерностью энергии. Поскольку время релаксации τ расходится при $T = T_0$, в ряде работ на основании этого полагалось, что T_0 – точка фазового перехода СС – ПМ. В то же время известно, что если при некоторой температуре T^* имеет место фазовый переход, то время релаксации флуктуаций намагниченности испытывает в T^* критическое замедление, и τ подчиняется степенному закону [11]:

$$\tau = \tau_0 [T/(T - T^*)]^{z\nu}. \quad (3)$$

Здесь z – динамический индекс и ν – критический индекс корреляционной длины Эдвардса–Андерсона. Предпринятое Огиельским [12] численное моделирование по методу Монте-Карло изинговского СС с $T^* \neq 0$ ($\pm J$ -модель, трехмерный случай) дало значение $z\nu = 7,2 \pm 1$.

Биндер и Янг предложили альтернативную гипотезу, в которой температура фазового перехода СС–ПМ полагалась равной нулю [13]. Для τ они получили следующее соотношение, получившее название обобщенного закона Аррениуса:

$$\ln(\tau/\tau_0) = T^{-z\nu}. \quad (4)$$

Предпринятое Биндером и Янгом численное моделирование по методу Монте-Карло изинговской системы ($\pm J$ -модель) мало значение $z\nu = 2$ для двумерного случая и $z\nu = 4$ – для трехмерного.

Для ряда реальных СС зависимость $T_f(\omega)$ сравнивалась с тремя перечисленными выше законами, и в зависимости от того, какому закону подчинялась эта зависимость, делался вывод о наличии или отсутствии фазового перехода СС–ПМ в $T_f \neq 0$ для данного СС. В настоящей работе произведена подгонка зависимости $T_f(\omega)$ состава $\text{Fe}_{0,67}\text{Cr}_{1,33}\text{Sn}_{0,67}\text{S}_4$ под приведенные выше три закона. Для этого в логарифмическом масштабе строились экспериментальные зависимости (2) – (4), причем в качестве τ подставлялись значения $1/\omega$ и в качестве T в законах Вогеля–Фульчера и степенном – T_f . Подгоночными параметрами являлись T_0 в (2), T^* в (3) и τ_0 в (4). Из построенных зависимостей отбирались те, где точки удовлетворительно ложатся на прямые линии, с помощью которых определялись величины τ_0 и E в законе Вогеля–Фульчера, τ_0 и $z\nu$ в степенном законе, а также $z\nu$ в обобщенном законе

Аррениуса. В таблице представлены значения τ_0 , $z\nu$ и E , определенные из наиболее удачных подгоночных прямых для каждого закона.

Подгонка зависимости $T_f(\omega)$ под разные законы

Степенной закон			Закон Вогеля-Фульчера			Обобщенный закон Аррениуса	
$\tau_0, \text{с}$	$z\nu$	T^*, K	$\tau_0, \text{с}$	$E, \text{мэВ}$	T_0, K	$\tau_0, \text{с}$	$z\nu$
$1,85 \cdot 10^{-10}$	7,6	32	$3,0 \cdot 10^{-12}$	23,3	23	10^{-12}	2,52
$2,0 \cdot 10^{-11}$	9,64	31	$1,5 \cdot 10^{-11}$	20,0	24	10^{-9}	3,76
$7,2 \cdot 10^{-12}$	10,68	30,5					

Подгонка зависимости $T_f(\omega)$ под закон Аррениуса

$$\tau = \tau_0 \exp(E_a/kT) \quad (5)$$

дает нереально малую величину $\tau_0 = 5,3 \cdot 10^{-27}$ с. (Для закона Аррениуса $\tau_0 \approx 10^{-9}$ с). Как видно из таблицы, зависимости $T_f(\omega)$ лучше всего соответствует степенной закон с $T^* = 31$ К. Это значение T^* удовлетворительно соответствует температуре максимума на кривой $\sigma(T)$ образца, охлажденного в отсутствие поля, равной 34,8 К. Закон Вогеля-Фульчера дает нереально малую величину T_0 , и обобщенный закон Аррениуса для трехмерного случая – сильно заниженное значение τ_0 . Выполнение степенного закона для $T_f(\omega)$ указывает на то, что в рассматриваемом СС имеет место фазовый переход СС – ПМ.

Таким образом, приведенные выше экспериментальные факты указывают, что в соединении $\text{Fe}_{0,67}\text{Cr}_{1,33}\text{Sn}_{0,67}\text{S}_4$ при $T \leq 31$ К наблюдается состояние СС. Основная причина, вызывающая это состояние – разбавление А- и В-подрешеток. Как известно, порог перколяции в шпинельной структуре для октаэдрической подрешетки $p_{co} = 0,401$ [14], а для тетраэдрической подрешетки – $p_{ct} = 0,428$ [15]. Как видно из химической формулы этого соединения, отношение количества магнитоактивных ионов к полному количеству ионов в октаэдрической подрешетке $p_o = 0,665$, а в тетраэдрической подрешетке $p_t = 0,67$. Эти значения не так уж сильно превышают указанные пороговые концентрации для А- и В-подрешеток. При разбавлении А- и В-подрешеток ионы Fe^{2+} и Cr^{3+} располагаются в соответствующих подрешетках случайно, и хотя между ними существуют сильные антиферромагнитные А – В-взаимодействия, эти связи не имеют периодической структуры, в последствии чего состояние с дальним антиферромагнитным порядком не может осуществиться и устанавливается состояние СС.

Работа выполнена при поддержке Российского фонда фундаментальных исследований, тема 94-02-03564.

1. К.П.Белов, Л.И.Королева, Н.А.Цветкова и др., Письма в ЖЭТФ 31, 96 (1980).
2. Л.И.Королева, А.И.Кузьминых, ЖЭТФ 84, 1882 (1983).
3. К.И.Королева, Т.В.Виловцев, А.И.Абрамович, and Ya.A.Kessler, J.Magn. & Magn. Mater. 115, 311 (1992).
4. E.Vincent, J.Hammann, and M.Alba, Solid State Commun. 58, 57 (1986).
5. M.Hamedoun, A.Wiedenmann, J.L.Dormann et al., J, Phys. C: Solid State Phys. 19, 1783 (1986).

6. J.J.Campo, F.Palacio, V.Sagredo and G.Attolini, Proc. and Abstr. of Int. Conf. on Magn. (1994) Warsaw, Poland, p.869.
7. P.Gibart, J.L.Dormann, and Y. Pellerin, Phys. Status Solidi **36**, 187 (1969).
8. K.Binder and A.Young, Rev. Mod. Phys. **58**, 801 (1986).
9. E.D.Dahlberg, M.Hardiman, R.Orbach, and J.Souletic, Phys. Rev. Lett. **42**, 401 (1979).
10. J.L.Tholence, Solid State Commun. **35**, 113 (1980).
11. P.C.Hohenberg and B.I.Halperin, Rev. Mod. Phys. **49**, 435 (1977).
12. A.T.Ogielski, Phys. Rev. B**32**, 7384 (1985).
13. K.Binder and A.P.Young, Phys. Rev. B**29**, 2864 (1984).
14. D.Fiorani, L.Gastaldi, A.Lapicciarella, and S.Viticoli, Solid. State Commun. **32**, 831 (1979).
15. M.K.Sykes, D.S.Gaunt, and M.Glenn, J. Phys. A**9**, 1705 (1976).